

KNO - СКЕЙЛИНГ В ЦЕНТРАЛЬНОЙ ОБЛАСТИ

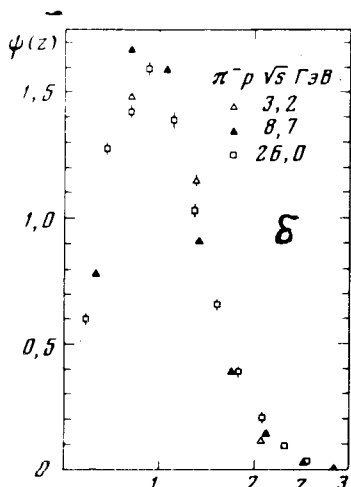
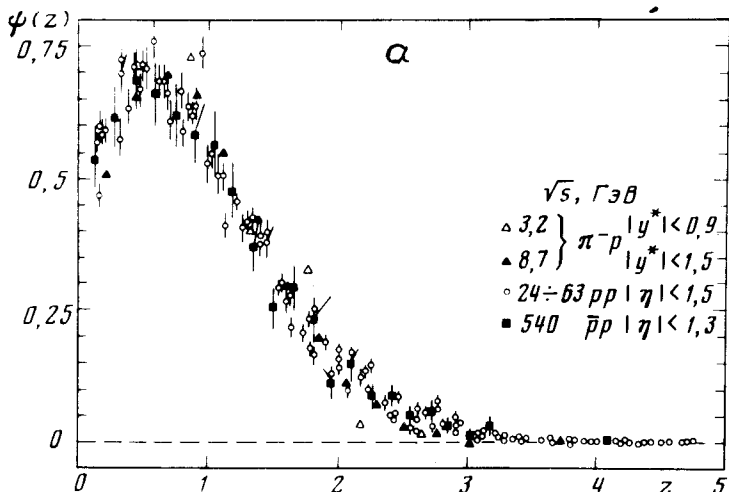
H.K. Куциди

Приводятся экспериментальные данные по KNO-скейлингу для заряженных частиц, образованных в центральной области в $\pi^- p$ взаимодействиях при 5 и 40 ГэВ/с. Наблюдается согласие с данными при высоких энергиях.

Первые экспериментальные данные, полученные в $\bar{p}p$ столкновениях при энергии в СЦМ $\sqrt{s} = 540$ ГэВ^{1,2}, показали, что общие характеристики процессов множественного образования частиц продолжают тенденции, известные при более низких энергиях. В частности, плотность распределения частиц в центральной области (ЦО) продолжает возрастать с ростом первичной энергии, т.е. скейлинг инклузивных распределений отсутствует здесь даже при энергиях десятки-сотни ГэВ (в СЦМ). С другой стороны, нормированные распределения по множественности для заряженных частиц из ЦО (функция $\psi(z) = \langle n \rangle P_n$, где $z = n/\langle n \rangle$, или KNO-скейлинг³) совпадают между собой как во всей области энергий ISR⁴ ($\sqrt{s} = 23,6 \div 62,8$ ГэВ) для $p\bar{p}$ взаимодействий, так и для $\bar{p}p$ столкновений при 540 ГэВ (соответствует $1,55 \times 10^5$ ГэВ в лаб. системе), хотя плотность распределения частиц по псевдобыстро-те η возрастает в этом интервале энергий в 2,7 раза².

В данной работе исследовалось поведение функции $\psi(z)$ для частиц, образованных в ЦО, при существенно более низких первичных энергиях. Были использованы данные по $\pi^- p$ взаимодействиям при энергиях $\sqrt{s} = 3,2$ и $8,7$ ГэВ (5 и 40 ГэВ в лаб. системе). Для данных при 8,7 ГэВ были применены критерии отбора, аналогичные использованным при анализе $p\bar{p}$ взаимодействий на ISR⁴, однако вместо псевдобыстроты η отбор треков производился по быстроте в СЦМ y^* с условием $|y^*| < 1,5$, причем требовалось наличие хотя бы одной частицы в ЦО, подобно⁴. На рис. а приведено распределение $\psi(z)$ для таких событий, совместно с данными из работ^{2,4}. Это распределение для $\pi^- p$ взаимодействий при 8,7 ГэВ совпадает с данными при существенно больших энергиях, т.е. KNO-скейлинг для событий с частицами из ЦО выполняется, по крайней мере качественно, в очень широком диапазоне первичных энергий и в разных типах взаимодействий. На этом же рисунке приведены данные и при весьма малой первичной энергии 3,2 ГэВ, где критерий отбора был несколько иным: $|y^*| < 0,9$ (отметим, что приведенные граничные значения y^* соответствуют полуширине на половине высоты в инклузивном распределении по быстроте всех заряженных частиц). Хотя при столь малой энергии, очевидно, отсутствует механизм, ответственный за центральное рождение, однако и здесь наблюдается близость распределения $\psi(z)$ с данными при высоких энергиях, что подчеркивает универсальность подобного поведения. Попытка аппроксимировать данные при 8,7 ГэВ функцией $\psi(z) \sim (a_1 z + a_2 z^3 + a_3 z^5) \exp(-bz)$, успешно используемой для описания данных по "полному" KNO-скейлингу (см., например,⁵), не привела к удовлетворительному описанию. Это указывает на иную форму распределения $\psi(z)$ для ЦО, в частности, оно шире, чем для заряженных частиц из всего фазового пространства, и дисперсия этого распределения равна $0,58 \pm 0,02$ (для ЦО) и $0,471 \pm 0,003$ (для всех частиц) при 8,7 ГэВ.

На рис. б для сравнения приведено распределение $\psi(z)$ для заряженных частиц из всего фазового пространства в $\pi^- p$ взаимодействиях при 5, 40 и 360^6 ГэВ/с. В отличие от случая частиц из ЦО, здесь даже в одном типе взаимодействий в существенно более узком диапазоне энергий KNO-скейлинг не выполняется. Отметим в этой связи, что анализ данных по KNO-скейлингу⁵ показал, что он выполняется количественно только в $p\bar{p}$ взаимодействиях в интервале энергий $\sqrt{s} = 9,8 \div 27,4$ ГэВ, тогда как при более высоких энергиях ISR уже наблюдается отклонение от скейлинга⁴. В работе⁵ было также показано, что исключение из множественности частицы, связанной с дифракционными процессами, улучшает согласие данных из различных типов взаимодействий.



a – Распределение $\psi(z) = \langle n_{\pm} \rangle P_n$ в зависимости от $z = n_{\pm} / \langle n_{\pm} \rangle$ для частиц, образованных в центральной области, в $\pi^- p$ (данная работа), $p\bar{p}^2$ и $p\bar{p}^4$ взаимодействиях. (В событии требовалось наличие не менее одной частицы, удовлетворяющей критериям отбора); *б* – распределение $\psi(z)$ для заряженных частиц из всего фазового объема в $\pi^- p$ взаимодействиях при 5, 40 (данная работа) и 360^6 ГэВ/с

Таким образом, для частиц, образованных в ЦО, наблюдается совпадение распределений $\psi(z)$ в очень широком диапазоне первичных энергий в разных типах взаимодействий (даже при несколько отличающихся критериях отбора), хотя именно в ЦО наблюдается наименее сильное нарушение скейлинга инклюзивных распределений. Весьма интересным явилось бы получение новых данных для других типов взаимодействий при разных энергиях.

Автор выражает благодарность коллективам сотрудничества 1-метровой водородной и 2-метровой пропановой пузырьковых камер ЛВЭ ОИЯИ за предоставление материала, Н.С.Амаглобели и Ю.А.Будагову – за поддержку.

Литература

1. Alpgard K. et al. Phys. Lett., 1981, **107 B**, 310, 315.
2. Arnison G. et al. Phys. Lett., 1981, **107B**, 320.
3. Koba Z. et al. Nucl. Phys., 1972, **B40**, 317.
4. Thome W. et al. Nucl. Phys., 1977, **B129**, 365.
5. Dumarchez J. et al. Nuovo Cim., 1981, **66A**, 114.
6. Firestone A. et al. Phys. Rev., 1976, **D14**, 2902.